

討 5

高溫におけるコーカスの熱的劣化

日本鋼管 技研。奥山泰男・宮津隆
柳内衛

I. 緒言

高炉内におけるコーカス塊の機械的強度の低下原因には、熱的劣化だけでなくソリューションロス反応による劣化やアルカリ・スラグなどの無機化合物による劣化等が考えられる。本稿では、熱的劣化を主体としたコーカス品質にもとづいて石炭組織の評価について述べるが、熱的劣化は急速と教つた理由は次のとおりである。

(1)コーカス塊の熱的劣化は均一劣化と見做せるが、ソリューションロス反応劣化等はコーカス塊の表面部が選択的に劣化する不均一劣化であるために、その劣化度を評価するのが困難である。小型CO₂反応後強度は、20mm程度の小粒コーカスを用いるため均一劣化と考えても差しがえないが、大型CO₂反応後強度は、不均一劣化であるにもかかわらず回転ドラム強度を表示していることは、必ずしも約確な表示方法ではない。

(2)高炉解体調査等によるとコーカスの機械的強度の落し、劣化や細粒化は、羽口レベルから3~5mの所より下で起つていて、Boudouard反応が主じてないか領域で劣化が起つていて、従って高炉内での劣化の大半は、熱的劣化・無機化合物による劣化であると考えるのが妥当であろう。ところが、小型CO₂反応後強度と並料比との間に高度の相関があり¹⁾、反応劣化を取り入れたシミュレーションモデルも提出されている。²⁾この矛盾を解明するためにも熱的劣化の検討が必要であると思われる。

II. 高温におけるコーカス性状

(1) 化学性状の変化

石炭組織のコーカスの化学性状への影響は、ほとんど解明されていない。その理由としては、(1)化学性状は平均値として測定されるので、コーカス中のサート由来の部分と単離して分析する必要がある。(2)石炭組織の差よりも熱処理条件の差や無機化合物の相異による影響が相対的に大きいと推定されることが挙げられる。ここでは、コーカスの石墨化過程での化学性状について簡単に触れたい。コーカスを高温に加熱して行くと、当然重量減少が伴う。図-1に示すように乾留温度が低い鋳物用コーカス等は、1300°Cまでに急激な重量減少と示すが、それ以上の高温度域では、100°C上昇毎に1~2%程度の脱ガスガビのコーカスについても同じである。この揮散成分の中に無機化合物やS、N、P等のコーカス中のヘテロ原子が含まれているのは周知の通りで、処理温度の上昇とともにコーカスの

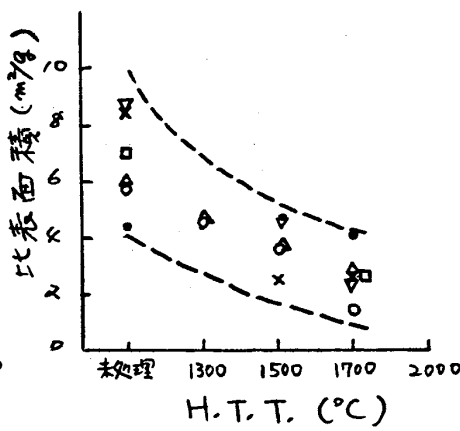
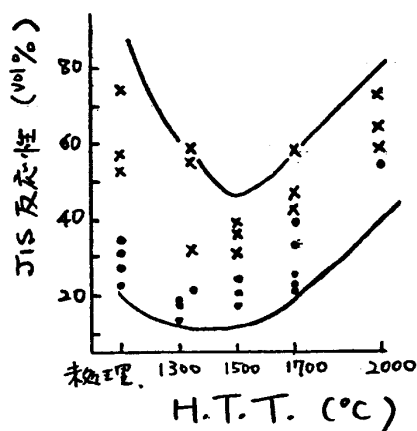
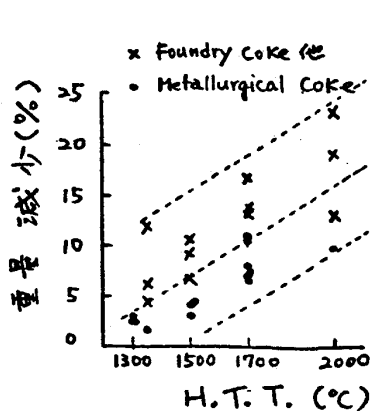
図-1 热処理による重量変化 図-2 CO₂反応性

図-3 比表面積

灰分やヘテロ原子の含有量の減少が観察されていいる³⁾。CO₂反応性については、図-2に示すように1500°C付近まで低下した後増加の一途をたどっている。これは比表面積が低下している(図-3参照)こと考慮すると、コークス中に残存していいる無機化合物が1500°C以上で遷元されBoudouard反応の触媒として作用するようになつたと考へるのが妥当であろう。従つて、コークス組織の光学的等方性の部分の反応性の高さが議論されているが、高温処理コークスはその対象外であろう。

(b) 機械的性状の変化

高温でのコークスの石墨化は、X線回折による結晶子の大きさ(L_c)の著しい増大により確認されると同様に、コークスの機械的強度の劣化はマイクロ硬度や引張強度等で観察されていいる。この劣化現象をもう少し詳細に検討して見た。図4と図-5は図-3等と同じサンプルについて熱処理温度とコークスの基質強度の関係を示したものである。マイクロ硬度、引張強度ともにある極大値を経て高温側では低下していくようである。なお、図中のコークスは各々次の平均反射率の石炭と乾留したものである。(●: 0.76%, ○: 1.10%, ×: 1.42%, △: 1.39%, ▽: 1.60%, ▲: 1.76%, □: 4.33%)

引張強度については、気孔率と硬度の相関が見られるのが常であるが今回のサンプルの場合は比較的ややく実験が得られている(図-6参)。コークスのように脆性破壊する場合はサンプル中に数μmの微小亀裂が存在すると実際の破壊強度は、理論値よりも低くGriffithによると次の式で求められる⁷⁾

$$\sigma = (2\gamma E / \pi c)^{1/2} \quad \dots \dots \dots (1)$$

但し、 σ : 破壊する臨界応力 γ : ずれ歪 E : ヤング率 c : 微小亀裂の長さの半分

一方、マイクロ硬度とヤング率の間には本田らによると(2)式が成立つ。

$$E = 0.027 H_V \times 10^{10} \text{ dyne/cm}^2 \quad \dots \dots \dots (2)$$

マイクロビックース硬度(HMV)とビックース硬度(HV)とは本質的には差はないので、常温引張強度(σ_T)が脆性破壊応力(σ)に等しいとすと(3)式が成立つ。

$$\phi_c = \sigma_T / \sqrt{HMV} \propto (1/c)^{1/2} \quad \dots \dots \dots (3)$$

ϕ_c とコークス中の微小亀裂度を考えると、 ϕ_c が小さい値を示すと、

微小亀裂が発達

し長くなること
を意味する。因
り明らかに
ように、マイク
ロ硬度よりも、
 ϕ_c の方が引張
強度への影響が
大きい。また、

イナート質の多
い豪州炭やカナ

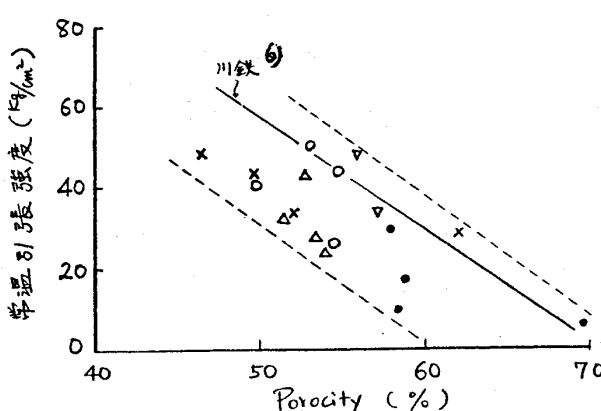


図-6 気孔率と常温引張強度との関係

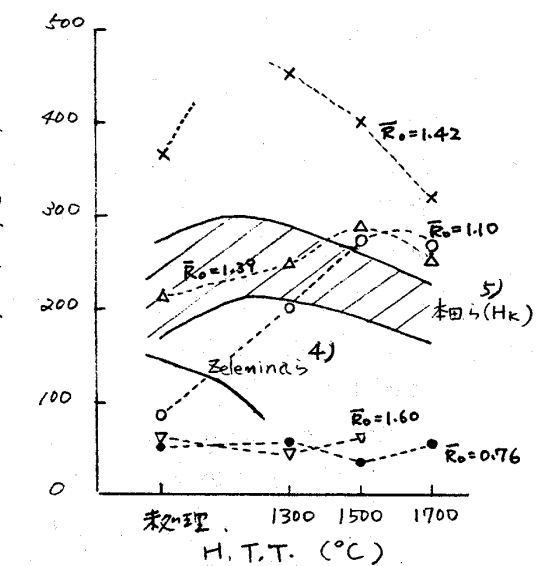


図-4 各種の石炭化度の单味炭コークスの
マイクロ硬度の変化 (HMV)

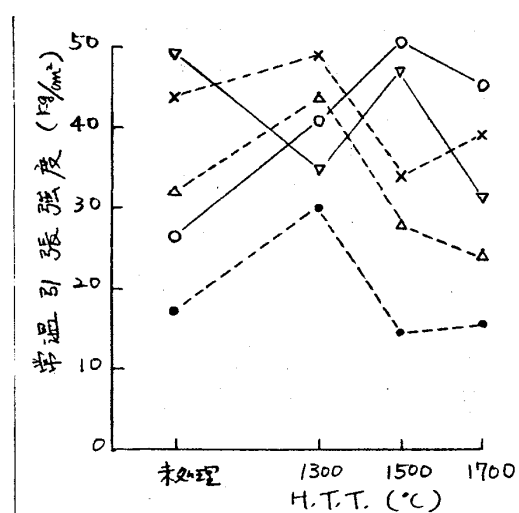


図-5 常温引張強度の変化

ダラから出るコークスの中には低く、低揮発分米国炭コークスは高い中Cを示している。高温処理により中Cが低下していふ事は微小亜裂の発達と意味している。気孔率の増加は微小亜裂の発達と促すことと考えると図-6の相関が理解される。

(c) 反射率の推移。

高温におけるコークスの反射率についてあれば報告されていふ理由には、(1)コークスと高温処理

によって収縮による無数の亜裂や微小な脱ガス孔が数多く発生し、正確な反射率が測定できるコークス表面が十分にとれなくば。

(2)また、コークスの反射率を測定しても、ある熱処理温度以上になると反射率

が低下して来るが、それが事実なのがあるのは、コークス基質が脆弱化ための反応不良によるものばかりの判断が困難である。といった二点が挙げられる。ところがH. Marsh等によると1300°C附近で極大値と示す例を報告している。そこで筆者らのデータを図-9に示す。イナート窓は1500°C付近まで反射率が増加してい

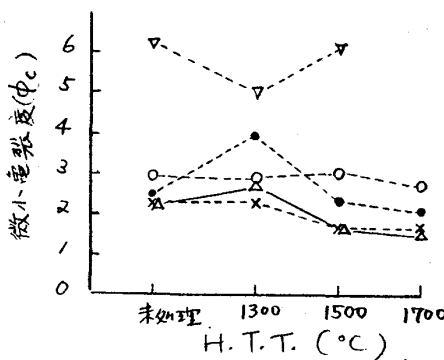


図-8 微小亜裂の発達

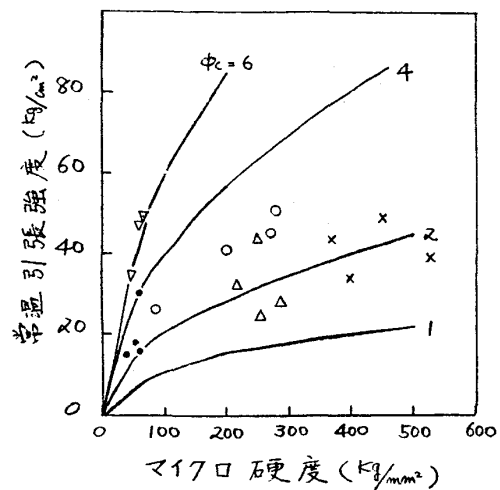


図-7 常温引張強度とマイクロ硬度の関係

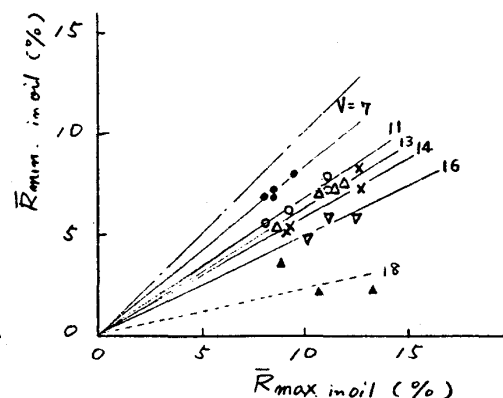


図-10 热处理コークスの光学的異方性

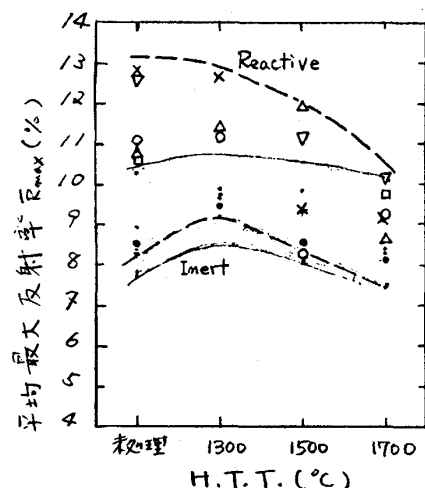


図-9 反射率の推移。

るのに對し、活性質の極大値はやや低温側にある。イナート窓は、測定技術の制約からセミフジニットおよびミクリニット由來のものに限定されたが、活性質エリも反射率は低い傾向がある。また石墨化に伴ない光学的異方性の発達が考えられるが、図-10に示すように、顯微鏡下でのコークス組織が変化する温度範囲では、 $\bar{R}_{\text{max}}/\bar{R}_{\text{min}}$ が一定で推進するものと考えられる。

III 热的劣化の評価。

(d) 热衝撃について。

コークスの高炉内挙動を考えると配慮しなければならぬ、热的劣化の一つである。コークス塊が急速に加熱されるのは、装入直後の炉頂部とセマリザーブーンと风口の周の炉下部)と箇所である。コークス塊内に発生する熱歪(ϵ_{th})は、炉頂部で $29.4 \text{ } \mu\text{m}$ 、炉下部で $11.3 \text{ kg}/\text{cm}^2$ と 100 mm の塊コークスについて(4式)により推算されている。現在高炉に装入されているコークスの引張強度は $55 \sim 70 \text{ kg}/\text{cm}^2$ の範囲なので問題はない。

$$\epsilon_{th} = \frac{\beta E}{(1-\nu)} (\bar{\tau} - t_s) \quad \dots \dots (4)$$

β : コークスの熱膨張率、 ν : ポアソン比 $\bar{\tau}$: 塊の平均温度 t_s : 塊の表面温度

(b) 熱衝ドラム強度について

日常管理指標として用いられているドラム強度は、コークス塊に存在するマクロ塊體に大きく左右されるため、ドラム強度とコークスの基質強度から推定するには、残存するマクロ塊體を正確に知る必要があるだけではなく、コークス塊の形状係数等も考慮しなければならない。そこでJISドラム強度と類似した方法で直達熱的劣化を測定するドラム試験機の必要性が生ずる。既に報告している¹⁰⁾て詳細は省くが、1500°C熱衝ドラム試験装置の開発に成功している。これによると図11に示すように高MF、高R₀の配合炭コークスの熱的劣化が少ないと判る。言い換えれば、イナート質が多いと熱的劣化は大きくなり、高石炭化度炭に移行すると熱的劣化は小さくなる現象は、基質強度の熱的劣化についても観察されている。

(c) CO₂反応劣化との比較

総合述べたように、不均一劣化であるCO₂反応劣化と回轉ドラム強度で表わすのは好ましいとは思わないが、定性的に熱的劣化と比較する場合は差しつかえないと判断される。CO₂反応劣化が少ないコークスは熱的劣化も少ない傾向が見られる(図-11)。塊コークスとCO₂が反応した場合の有効反応係数(E_f)を整理すると、E_fが小さい程、CO₂反応劣化および熱的劣化が小さくなる(図-12)。このE_fも配合炭性状の石炭化度と流動性に支配されており高MF、高R₀の石炭程E_fの小さいコークスを生成している(図-13)。

IV. 結 言

熱的劣化の主たる原因是、マイクロ硬度の低下だけではなく微小塊體の発達による基質強度の低下と脱ガスに伴うマクロ塊體の発生であろう。こなと原料並から解析すると、高石炭化度、高流動度の原料炭コークスはミクロ的にもマクロ的にも熱的劣化が少ないとされ、CO₂反応劣化も少ないと判った。熱的劣化、CO₂反応劣化の面からイナート質の欠点について述べたが、高炉の通風性保持の面からは、ドラム強度だけでなく、コークス粒度も確保する必要がある(図-14参)、粒度を大きくする意味でイナート質の役割は大である。どうも石炭と使用しても、配合炭としてある一定以上の石炭化度と流動度を確保し、イナート含有量と所定の範囲内に收めれば、熱衝性状の優れたコークスが生成される。

(文献)

- 1) 井田他 コークス技術-21 (4) 252 (1972)
- 2) 井田・野地 鉄と鋼 65 1365 (1979)
- 3) 福山他 燃焼誌 67 607 (1968)
- 4) V. V. Zelenina he Coke u Chem 1973(2) 23
- 5) H. Honda he Fuel 35 403 (1956)
- 6) 川崎製鉄 社3回コークス分析会、八幡 (1976)
- 7) D. G. Murchison Analytical Methods for Coal and coal Product (II) P415. (1975). Academic Press.
- 8) ニュルフ編、機械的性質(岩波)P139 (1967)
- 9) Yu. Y. Filonenko他. Koks i Khimiya 1976(8) 20
- 10) T. Miyata他. Proc. Coal, coke and BF p66 (1977)

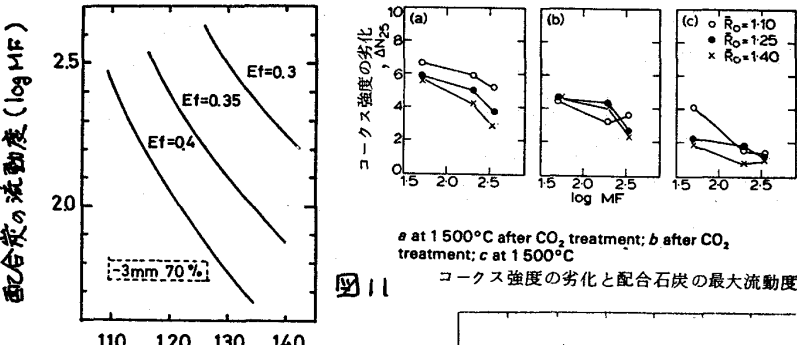
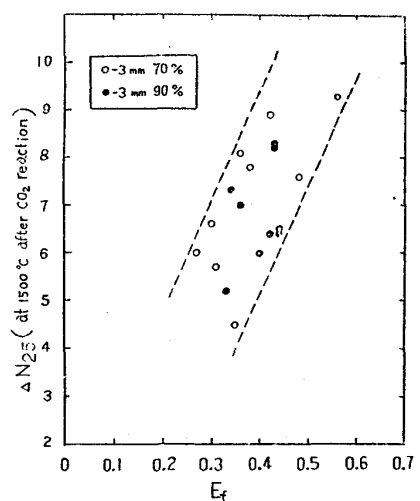
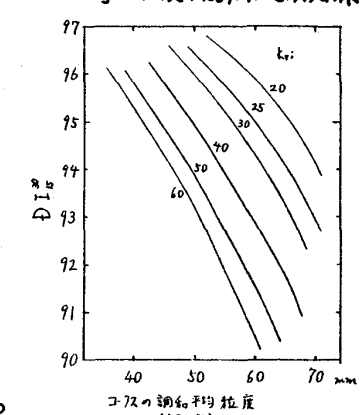


図11 コークス強度の劣化と配合石炭の最大流動度

図13 E_f と石炭の R_0 、MFとの関係図12. E_f とCO₂反応後熱的劣化の推定